

American Chemical Society ACS Publications 利用ガイド

1. アクセス

ACS の Publications ホームページからアクセスします。ジャーナルタイトルが一覧表示されます。

アクセス URL : <https://pubs.acs.org/>

検索ウィンドウは、常にどのページにも表示されます。

My Activity は、セッションの間でアクセスした記事の履歴を表示します。Publications は刊行タイトルを一覧表示します。

ジャーナルタイトル一覧表示されます。表紙イメージをクリックすると、そのジャーナルホーム画面を表示します。

個々のタイトル（表紙イメージ）をクリックすると、そのジャーナルホームページを表示します。

記事のブラウズは、メニューバーの List of Issues、ASAP、Current Issue、もしくは画面の ASAP Articles、Featured Content、Current Issue の一覧から出来るようになっています。

ジャーナルホームページ（例：Journal of the American Chemical Society）

2. 記事の閲覧

★最新号 (Current Issue) の表示

最新号 (Current Issue) は、ジャーナルホームのメニューバー **Current Issue** をクリック、もしくはタブメニューの **Current Issue** をクリックすると表示できます。

前後の号に移動します。

PREVIOUS ISSUE をクリックすると一つ前の号を表示、VIEW ALL ISSUES をクリックすると巻号を一覧表示、ASAPs をクリックすると、ASAP 記事の一覧表示、JAMs をクリックすると、受理されたばかりの論文を一覧表示します。

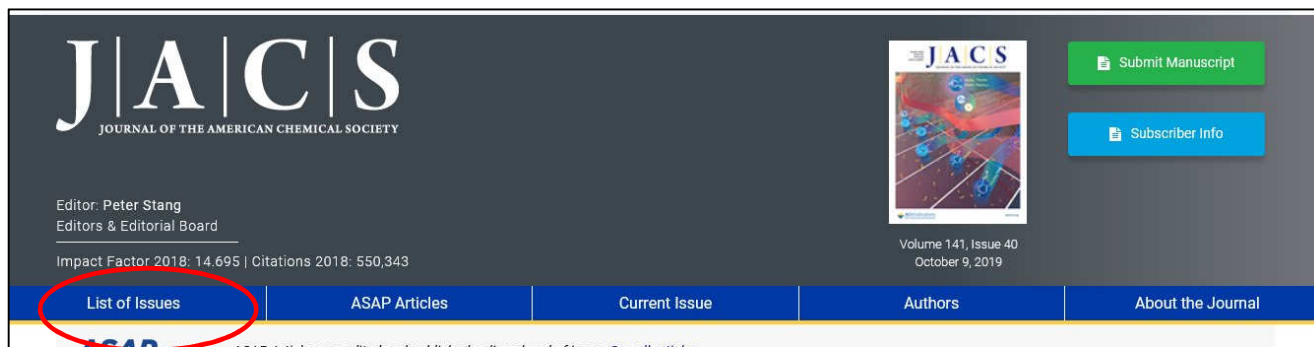
記事のカテゴリーに移動します。

最新号の目次表示

The screenshot shows the JACS journal homepage. At the top, the current issue information is displayed: "October 9, 2019", "Volume 141, Issue 40", and "Pages 15719-16178". Navigation arrows are present. Below this, there are links for "PREVIOUS ISSUE", "VIEW ALL ISSUES", "ASAPs", and "JAMs". A "Submit Manuscript" button is also visible. The page is categorized by "In this issue:" with sub-sections like "Spotlights", "Perspectives", "Communications", "Articles", "Additions and Corrections", and "Mastheads". Below the navigation, there are sections for "Spotlights on Recent JACS Publications", "PERSPECTIVES" (featuring a paper on Nanopore-Based Single-Biomolecule Interfaces), "SPONSORED CONTENT" (featuring a video on New, Safer Automated Analysis of Ethylene Oxide), and "COMMUNICATIONS" (featuring a paper on Ruthenium-Catalyzed Enantioselective C-H Functionalization). Red circles and arrows highlight the navigation elements and their functions.

★巻号一覧表示

バックナンバーを含む巻号一覧を表示するには、ジャーナルホーム画面メニューバーの List of Issues、もしくは目次画面にある VIEW ALL ISSUES をクリックします。



List of Issues

ジャーナルロゴをクリックすると、ジャーナルホーム画面を表示、CURRENT ISSUE をクリックすると最新号の目次を表示します。

[CURRENT ISSUE](#)
[VIEW ALL ISSUES](#)
[JAMs](#)

[← 2010s](#)
 [2000s](#)
 [1990s](#)
 [1980s](#)
 [1970s](#)
 [1960s](#)
 [1950s](#)
 [1940s](#)
 [1930s](#)
 [1920s](#)
 [1910s](#)
 [→](#)

[2019](#)
 2018
 2017
 2016
 2015
 2014
 2013
 2012
 2011
 2010

Archive of 2019 Online Issues

 October 9, 2019 Vol. 141 Issue 40 pp. 15719-16178 CURRENT ISSUE	 October 2, 2019 Vol. 141 Issue 39 pp. 15465-15718	 September 25, 2019 Vol. 141 Issue 38 pp. 14949-15464
 September 18, 2019 Vol. 141 Issue 37 pp. 14461-14948	 September 11, 2019 Vol. 141 Issue 36 pp. 14003-14460	 September 4, 2019 Vol. 141 Issue 35 pp. 13699-14002

リスト表示は 10 年ごとにまとめられています。上段の 2010s、2000s、1990s...のどれかを選択すると、下段にその 10 年の各年が選択できます。

★ASAP 記事の表示

査読済みの記事で冊子体収録に先駆けてオンラインで公開される記事を表示します。

The screenshot shows the JACS ASAP Articles page. The navigation bar includes 'List of Issues', 'ASAP Articles' (highlighted with a red circle), 'Current Issue', 'Authors', and 'About the Journal'. The article title is 'Ionic Highways from Covalent Assembly in Highly Conducting and Stable Anion Exchange Membrane Fuel Cells'. The authors are Yoonseob Kim, Yanming Wang, Arthur France-Lanord, Yichong Wang, You-Chi M. Jeffrey C. Grossman* and Timothy M. Swager*. The citation information is circled in red: 'Cite this: *J. Am. Chem. Soc.* 2019, XXXX, XXX, XXX, XXXX'. A text box on the right says '記事番号は未定のため、xxxx になっています。'. The abstract states: 'A major challenge in the development of anion exchange membranes for fuel cells is the design and synthesis of highly stable (chemically and mechanically) conducting membranes. Membranes that can endure highly...'. A graph showing proton density vs. current density is also visible.

★Just Accepted 記事の表示

ジャーナルによっては受理された記事を即時公開します。ジャーナルホームの Quick Links、List of Issues の JAMs から一覧表示します。

The screenshot shows the Biochemistry Just Accepted Manuscripts page. The 'Just Accepted Manuscripts' section is on the left. The main article is 'Glutathione Directly Intercepts DNA Radicals to Inhibit Oxidative DNA-Protein Crosslinking Induced by the 1-electron Oxidation of Guanine' by Mary Safaeipour, Juliette Jauregui, Sarah Castillo, Mary Bekarian, Diana Esparza, Maritza Sanchez and Eric Stemp. The 'Get e-Alerts' button is circled in red. A text box on the right says 'クリックすると、アラートの設定ができます (ACS ID のログインが必要)'.

Just Accepted Manuscripts

Description:

"Just Accepted" manuscripts are peer-reviewed and accepted for publication. They are posted online prior to technical editing, formatting for publication, and author proofing. The American Chemical Society is posting just accepted, unredacted manuscripts as a service to the research community in order to expedite the dissemination of scientific information as soon as possible after acceptance. "Just Accepted" manuscripts appear in full as PDF documents accompanied by an HTML abstract. They are available to subscribers and citable by the Digital Object Identifier (DOI). The manuscripts posted on the "Just Accepted" Web site are not the final scientific version of record; the ASAP (As Soon As Publishable) article (which has been technically edited and formatted) represents the final scientific article of record. The "Just Accepted" manuscript is removed from the Web site upon publication of the ASAP article, and the ASAP article has the same DOI as the "Just Accepted" manuscript. The DOI remains constant to ensure that citations to "Just Accepted" manuscripts link to the final scientific article of record when it becomes available.

Just Accepted FAQ

NOVEMBER 4, 2019

Glutathione Directly Intercepts DNA Radicals to Inhibit Oxidative DNA-Protein Crosslinking Induced by Oxidation of Guanine

Mary Safaeipour, Juliette Jauregui, Sarah Castillo, Mary Bekarian, Diana Esparza, Maritza Sanchez, and Eric Stemp

Biochemistry, Just Accepted
Publication Date (Web): November 4, 2019

Abstract PDF

ABSTRACT

NosP signaling modulates the NO/H-NOX-mediated multicomponent c-di-GMP network and biofilm *Shewanella oneidensis*

Biochemistry

RETURN TO JUST ACCEPTED MANUSCRIPTS | ARTICLE | NEXT >

Glutathione Directly Intercepts DNA Radicals to Inhibit Oxidative DNA-Protein Crosslinking Induced by the 1-electron Oxidation of Guanine

Mary Safaeipour, Juliette Jauregui, Sarah Castillo, Mary Bekarian, Diana Esparza, Maritza Sanchez and Eric Stemp

Cite this: *Biochemistry* 2019, XXXX, XXX, XXX-XXX
Publication Date: November 4, 2019
<https://doi.org/10.1021/acs.biochem.9b00697>
Copyright © 2019 American Chemical Society

Article Views | Altmetric | Citations

PDF (918 KB)

Abstract

Oxidative DNA damage can lead to cancer, and as enzymatic DNA repair systems become compromised during the aging process, the role of exogenous antioxidants becomes more critical. Here, we examined whether such non-enzymatic DNA repair can be effected by the common cellular antioxidant glutathione, investigating both permanent DNA damage products and the guanine radical intermediates that form them, using the flash quench technique to carry out the 1-electron oxidation of guanine. In gel shift assays, the presence of reduced glutathione (GSH) at physiological (millimolar) concentrations strongly inhibits oxidative DNA-protein cross-linking. In contrast, oxidized glutathione dimer (GSSG) affords only a minimal amount of protection, even at elevated pH where there is more of the strongly reducing thiolate form. In flash photolysis experiments, the formation and decay of the guanine neutral radical was monitored at 510 nm. Transient absorption measurements with a guanine-rich 22-mer DNA duplex on the millisecond timescale show that the yield of this long-lived signal is significantly diminished in the presence of reduced glutathione, suggesting a reduction process that is fast relative to the measurement. Indeed, transient absorption experiments carried out on faster timescales show that the microsecond decay of the guanine radical signal is visibly faster with glutathione present. Glutathione is perhaps best known as an electron source in enzymatic reactions, to maintain cysteines in reduced states in proteins and to deactivate reactive oxygen species. However, these results show that another important task for glutathione may be to directly intercept DNA radicals before permanent DNA damage can occur.

★Abstract の表示

目次一覧から Abstract を選択すると、Abstract 画面を表示します。目次画面から Abstract を表示することもできます。

Synthesis and Properties of a Compositional Series of MIL-53 (Al) Metal–Organic Framework

Christopher W. Ashling, Duncan N. Johnstone, Sean M. Collins, Adam F. Sapnik, Alice M. Bumstead, Remo N. Widmer, Jingwei Hou, Paul A. Midgley, Philip A. Chater, David A. Keen, and Thomas D. Bennett*

Publication Date (Web): September 6, 2019

Abstract Full text PDF

ABSTRACT

One-Step Synthesis of an Adaptable Adsorbed Gas-Dependent Geometry

Shun Suginome, Hiroshi Sato*, Akihiro Hori, Akira Kusaka, Ryotaro Matsuda, Jenny Pirillo, Yuhang

Synthesis and Properties of a Compositional Series of MIL-53 (Al) Metal–Organic Framework Crystal-Glass Composites

Christopher W. Ashling, Duncan N. Johnstone, Remo N. Widmer, Jingwei Hou, Sean M. Collins, Adam F. Sapnik, Alice M. Bumstead, Paul A. Midgley, Philip A. Chater, David A. Keen, and Thomas D. Bennett*

Journal of the American Chemical Society 2019, 141, 39, 15641-15648 (Article) ACS AuthorChoice

Publication Date (Web): September 6, 2019

Abstract Full text PDF

ABSTRACT

Metal–organic framework crystal-glass composites (MOF-CGCs) are materials in which a crystalline MOF is dispersed within a MOF glass. In this work, we explore the room-temperature stabilization of the open-pore form of MIL-53(Al), usually observed at high temperature, which occurs upon encapsulation within a ZIF-62 (Zn) MOF glass matrix. A series of MOF-CGCs containing different loadings of MIL-53(Al) were synthesized and characterized using X-ray diffraction and nuclear magnetic resonance spectroscopy. An upper limit of MIL-53(Al) that can be stabilized in the composite was determined for the first time. The nanostructure of the composites was probed using pair distribution function analysis and scanning transmission electron microscopy. Notably, the distribution and integrity of the crystalline component in a sample series were determined, and these findings were related to the MOF-CGC gas adsorption capacity in order to identify the optimal loading necessary for maximum CO₂ sorption capacity.

目次表示の Abstract は折りたたまれています。クリックすると表示します。

RETURN TO ISSUE | < PREV ARTICLE NEXT >

Synthesis and Properties of a Compositional Series of MIL-53(Al) Metal–Organic Framework Crystal-Glass Composites

Christopher W. Ashling, Duncan N. Johnstone, Remo N. Widmer, Jingwei Hou, Sean M. Collins, Adam F. Sapnik, Alice M. Bumstead, Paul A. Midgley, Philip A. Chater, David A. Keen and Thomas D. Bennett*

Cite this: *J. Am. Chem. Soc.* 2019, 141, 39, 15641-15648
 Publication Date: September 6, 2019
 https://doi.org/10.1021/jacs.9b07557
 Copyright © 2019 American Chemical Society

Article Views: **2465** | Altmetric: **15** | Citations: **-**

Read Online PDF (3 MB) Supporting Info (1)

Journal of the American Chemical Society

記事の利用状況を表示します。

Abstract

Metal–organic framework crystal-glass composites (MOF-CGCs) are materials in which a crystalline MOF is dispersed within a MOF glass. In this work, we explore the room-temperature stabilization of the open-pore form of MIL-53(Al), usually observed at high temperature, which occurs upon encapsulation within a ZIF-62 (Zn) MOF glass matrix. A series of MOF-CGCs containing different loadings of MIL-53(Al) were synthesized and characterized using X-ray diffraction and nuclear magnetic resonance spectroscopy. An upper limit of MIL-53(Al) that can be stabilized in the composite was determined for the first time. The nanostructure of the composites was probed using pair distribution function analysis and scanning transmission electron microscopy. Notably, the distribution and integrity of the crystalline component in a sample series were determined, and these findings were related to the MOF-CGC gas adsorption capacity in order to identify the optimal loading necessary for maximum CO₂ sorption capacity.

Read Online をクリックすると、HTML の全文を表示します。PDF をクリックすると、PDF 形式での全文を表示します。

Supporting Information

The Supporting Information is available free of charge on the ACS Publications website at DOI: 10.1021/jacs.9b07557.

- Scanning electron microscopy (SEM) images, PXRD, synchrotron X-ray total scattering data and corresponding Rietveld refinements, STEM images, structure factors ($S(Q)$), simulated PDF patterns, gas adsorption isotherms, IR, and BET surface areas (PDF)

pdf

ja9b07557_si_001.pdf (25.67 MB)

Abstract 表示画面

★全文の表示

Abstract 表示の Read Online もしくは目次で標題をクリックすると、HTML形式で全文を表示します。

HTML 形式全文表示

ARTICLE SELECTIONS の Jump to をクリックして、全文の特定のセクションにジャンプできます。

PDF を選択すると、PDF 形式で全文を表示します。

This is an open access article published under a Creative Commons Attribution (CC-BY) license, which permits unrestricted use, distribution, and reproduction in any medium, provided the author and source are credited.

J | A | C | S
JOURNAL OF THE AMERICAN CHEMICAL SOCIETY

Synthesis and Properties of a Compositional Series of MIL-53(Al) Metal-Organic Framework Crystal-Glass Composites

Christopher W. Ashling,[†] Duncan N. Johnstone,[†] Remo N. Widmer,[‡] Jingwei Hou,[†] Sean M. Collins,[†] Adam F. Sapnik,[†] Alice M. Bumstead,[†] Paul A. Midgley,[†] Philip A. Chater,[§] David A. Keen,^{||} and Thomas D. Bennett^{*†}

[†]Department of Materials Science and Metallurgy, University of Cambridge, Cambridge, CB3 0FS U.K.
[‡]Department of Earth Sciences, University of Cambridge, Downing Street, Cambridge, CB2 3EQ U.K.
[§]Diamond Light Source Ltd., Diamond House, Harwell Campus, Didcot, Oxfordshire OX11 0DE U.K.
^{||}ISIS Facility, Rutherford Appleton Laboratory, Harwell Campus, Didcot, Oxfordshire OX11 0QX U.K.

Supporting Information

ABSTRACT: Metal-organic framework crystal-glass composites (MOF-CGCs) are materials in which a crystalline MOF is dispersed within a MOF glass. In this work, we explore the room-temperature stabilization of the open-pore form of MIL-53(Al), usually observed at high temperature, which occurs upon encapsulation within a ZIF-62(Zn) MOF glass matrix. A series of MOF-CGCs containing different loadings of MIL-53(Al) were synthesized and characterized using X-ray diffraction and nuclear magnetic resonance spectroscopy. An upper limit of MIL-53(Al) that can be stabilized in the composite was determined for the first time. The nanostructure of the composites was probed using pair distribution function analysis and scanning transmission electron microscopy. Notably, the distribution and integrity of the crystalline component in a sample series were determined, and these findings were related to the MOF-CGC gas adsorption capacity in order to identify the optimal loading necessary for maximum CO₂ sorption capacity.

INTRODUCTION
Metal-organic frameworks (MOFs) are hybrid framework materials containing metal ions or clusters coordinated to organic linkers in a well-defined fashion by organic molecules. (1) MOFs are highly porous materials with large surface areas and tunable pore sizes (2,3) and are used in a variety of applications including gas storage and separation, catalysis, water harvesting, and sensing. (1,4-7) The exploitation of the full chemical promise of MOFs in practice may however be impeded by their physical form. MOFs are typically synthesized as nanometer-sized particles or thin films without prior design. The synthesis of MOF monoliths by synthetic compaction and sintering of MOF monoliths and the MOF crystallites (8,9) have been reported (10,11).

thermal stabilities (ca. 300–500 °C).^{16–18} The incorporation of these bidentate linkers leads ZIFs to adopt many topologies

本文中の参考文献 No.、図、ORCID ID、Support Information については、ハイパーリンクになっています。

PDF フルテキスト表示

★Reference QuickView とレファレンスリンク

記事の参照文献 (References) の情報は、HTML 全文表示の参考文献番号をクリックして表示できます。Abstract を含む書誌情報を SciFinder® のレコードと連携して表示します。

Introduction **ARTICLE SECTIONS** Jump To ▾

are hybrid framework materials containing metal ions or clusters coordinated to organic linkers in a well-defined fashion by organic molecules. (1) MOFs are highly porous materials with large surface areas and tunable pore sizes (2,3) and are used in a variety of applications including gas storage and separation, catalysis, water harvesting, and sensing. (1,4-7) The exploitation of the full chemical promise of MOFs in practice may however be impeded by their physical form. MOFs are typically synthesized as nanometer-sized particles or thin films without prior design. The synthesis of MOF monoliths by synthetic compaction and sintering of MOF monoliths and the MOF crystallites (8,9) have been reported (10,11).

Reference QuickView Powered By **SciFinder** CAS SOLUTION

1 The chemistry and applications of metal-organic frameworks **NEXT >**

Furukawa Hiroyasu; Cordova Kyle E; O'Keeffe Michael; Yaghi Omar M
Science (New York, N.Y.) (2013), 341 (6149), 1230444 ISSN:

Crystalline metal-organic frameworks (MOFs) are formed by reticular synthesis, which creates strong bonds between inorganic and organic units. Careful selection of MOF constituents can yield crystals of ultrahigh porosity and high thermal and chemical stability. These characteristics allow the interior of MOFs to be chemically altered for use in gas separation, gas storage, and catalysis, among other applications. The precision commonly exercised in their chemical modification and the ability to expand their metrics without changing the underlying topology have not been achieved with other solids. MOFs whose chemical composition and shape of building units can be multiply varied within a particular structure already exist and may lead to materials that offer a synergistic combination of properties.

>> More from SciFinder®

1. Furukawa, H.; Cordova, K. E.; O'Keeffe, M.; Yaghi, O. M. The Chemistry and Applications of Metal-Organic Frameworks. *Science* 2013, 341 (6149), 1230444, DOI: 10.1126/science.1230444 [Crossref], [PubMed], [CAS], [Google Scholar]

4. Kim, H.; Yang, S.; Rao, S. R.; Narayanan, S.; Kapustin, E. A.; Furukawa, H.; Umans, A. S.; Yaghi, O. M.; Wang, E. N. Water Harvesting from Air with Metal-Organic Frameworks Powered by Natural Sunlight. *Science* 2017, 356, 430–434, DOI: 10.1126/science.aam8743 [Crossref], [PubMed]

CrossRef をクリックすると電子ジャーナルの該当記事にリンクします。

参考文献 (References) からは、CrossRef、PubMed、CAS、Google Scholar のリンクから記事本文にリンクします。

References ARTICLE SECTIONS Jump To

This article references 37 other publications.

1. Furukawa, H.; Cordova, K. E.; O'Keeffe, M.; Yaghi, O. M. The Chemistry and Applications of Metal-Organic Frameworks. *Science* 2013, 341 (6149), 1230444, DOI: 10.1126/science.1230444 [Crossref], [PubMed], [CAS], [Google Scholar]
2. Hönicke, I. M.; Senkovska, I.; Bon, V.; Baburin, Balancing Mechanical Stability and Ultrahigh Porosity in Metal-Organic Frameworks. *Chem.–Int. Ed.* 2018, 57(42), 13780–13783, DOI: 10.1002/anie.201805000 [Crossref], [PubMed], [CAS], [Google Scholar]
3. Farha, O. K.; Eryazici, I.; Jeong, N. C.; Hauser, S. T.; Yazaydin, A. Ö.; Hupp, J. T. Metal-Organic Frameworks: The Sky the Limit?. *J. Am. Chem. Soc.* 2012, 134(12), 5190–5195, DOI: 10.1021/ja209077g [Crossref], [PubMed], [CAS], [Google Scholar]

例) Science 電子版の記事にリンクします。

ACS Full text : ACS の他の記事にリンク
 CrossRef : 他の電子ジャーナルサービスへの直接リンク
 CAS : CAS のリンクポータルを表示。
 PubMed : PubMed の該当レコードにリンク。
 Google Scholar : Google Scholar での該当レコードにリンク

Reference 一覧画面

★Cited by

その記事が引用されている場合、Abstract および HTML 全文表示の下に、Cited by としてその引用情報を表示します。

RETURN TO ISSUE | < PREV COMMUNICATION NEXT >

Orthogonal Spin Arrangement in Quasi-Two-Dimensional $\text{La}_2\text{Co}_2\text{O}_3\text{Se}_2$
 Yayoi Fuwa[†], Takashi Endo[†], Makoto Wakeshima[†], Yukio Hinatsu[†] and Kenji Ohoyama[‡]

View Author Information

Cite this: *J. Am. Chem. Soc.* 2010, 132, 51, 18020–18022
 Publication Date: December 2, 2010
<https://doi.org/10.1021/ja109007g>
 Copyright © 2010 © 2010 American Chemical Society

Article Views: 951 | Altmetric: 3 | **21**

Read Online | PDF (1 MB) | Supporting Info (3)

21 件の引用がある。21 をクリックすると Cited by の一覧にジャンプします。

Cited By

This article is cited by 21 publications.

1. B. Freelon, Z. Yamani, Ian Swainson, R. Flacau, B. Karki, Yu Hao Liu, L. Craco, M. S. Laad, Meng Wang, Jiaqi Chen, R. J. Birgeneau, Minghu Fang. Magnetic and structural properties of the iron oxychalcogenides $\text{La}_2\text{O}_2\text{Fe}_2\text{O}_2\text{M}_2(\text{M}=\text{S},\text{Se})$. *Physical Review B* 2019, 99(2) DOI: 10.1103/PhysRevB.99.024109.
2. K. W. Bayliff, S. Wu, V. Loganathan, L. L. Zhao, J. K. Wang, Andriy H. Nevidomskyy, C. Broholm, C.-L. Huang, E. Morosan. From two-dimensional spin vortex crystal to three-dimensional Néel order in the Mott insulator $\text{Sr}_2\text{Fe}_2(\text{Fe}_{1-x}\text{Mnx})_2\text{O}_{10}$. *Physical Review B* 2019, 99(2) DOI: 10.1103/PhysRevB.99.024412.
3. Congcong Le, Jinfeng Zeng, Yuhao Gu, Guang-Han Cao, Jiangping Hu. A possible family of Ni-based high temperature superconductors. *Science Bulletin* 2018, 63(15), 957-963. DOI: 10.1016/j.scib.2018.06.005.
4. Abdurweli Ablimit, Yun-Lai Sun, Hao Jiang, Si-Qi Wu, Ya-Bin Liu, Guang-Han Cao. Weak magnetism in $\text{Rb}_2\text{Fe}_2\text{O}_2\text{Cl}_2$. *Physical Review B* 2018, 97(21) DOI: 10.1103/PhysRevB.97.214517.
5. Reeya K. Oogarah, Emmanuelle Suard, Emma E. McCabe. Magnetic order and phase transitions in $\text{La}_2\text{Co}_2\text{O}_3\text{Se}_2$. *Magnetism and Magnetic Materials* 2018, 446, 101-107. DOI: 10.1016/j.jmmm.2017.09.024.
6. Chun-Hai Wang, C. M. Ainsworth, S. D. Champion, G. A. Stewart, M. C. Worsdale, T. Lancaster, S. J. Blundell, Helen E. A. Brand, John S. O. Evans. Crystal structure and magnetic modulation in $\beta\text{-Ce}_2\text{O}_2\text{FeSe}_2$. *Physical Review Materials* 2017, 1(3) DOI: 10.1103/PhysRevMaterials.1.034403.
7. R. K. Oogarah, C. P. J. Stockdale, C. Stock, J. S. O. Evans, A. S. Wills, J. W. Taylor, E. E. McCabe. Crystal field excitations and magnons: Their roles in oxychalcogenides $\text{Pr}_2\text{O}_2\text{M}_2\text{O}_2\text{Se}_2(\text{M}=\text{Mn},\text{Fe})$. *Physical Review B* 2017, 95(17) DOI: 10.1103/PhysRevB.95.174441.

DOI は、記事固有の識別子でこれを使って記事を検索できます。

★Supporting Information

冊子体に収載できなかったデータ、図・表など、この記事に対しての追加情報があれば、このリンクから参照できます。ファイルとして搭載され、主に PDF、MS Word、Crystallographic Information File(CIF) (三次元構造データファイル) が中心ですが、動画データなども搭載されます。

RETURN TO ISSUE
< PREV COMMUNICATION NEXT >

Packing Interactions in Hydrated and Anhydrous Forms of the Antibiotic Ciprofloxacin: a Solid-State NMR, X-ray Diffraction, and Computer Simulation Study

Luis Mafrá^{†‡}, Sérgio M. Santos[†], Renée Siegel[†], Inês Alves[†], Filipe A. Almeida Paz[†], Dmytro Dudenko[†] and Hans W. Spiess[†]

View Author Information ▾

Cite this: *J. Am. Chem. Soc.* 2012, 134, 1, 71-74
 Publication Date: November 28, 2011
<https://doi.org/10.1021/ja208647n>
 Copyright © 2011 © 2011 American Chemical Society
RIGHTS & PERMISSIONS

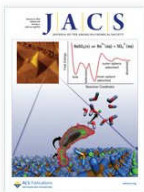
2158 Article Views
LEARN ABOUT THESE METRICS

1 Altmetric
LEARN ABOUT THESE METRICS

97 Citations
LEARN ABOUT THESE METRICS

Share Add to Export

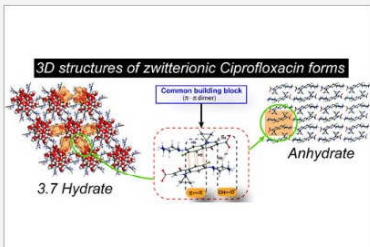
Read Online
 PDF (3 MB)
 Supporting Info (3) »



Journal of the American Chemical Society

Abstract

We present an experimental NMR, X-ray diffraction (XRD), and computational study of the supramolecular assemblies of two crystalline forms of Ciprofloxacin: one anhydrate and one hydrate forming water wormholes. The resonance assignment of up to 51 and 54 distinct ¹³C and ¹H resonances for the hydrate is reported. The effect of crystal packing, identified by XRD, on the ¹H and ¹³C chemical shifts including weak interionic H-bonds, is quantified; ¹H chemical shift changes up to ~-3.5 ppm for CH...π contacts and ~+2 ppm (CH...O⁻); ~+4.7 ppm (¹⁵NH...O⁻) for H-bonds. Water intake induces chemical shift changes up to 2 and 5 ppm for ¹H and ¹³C nuclei, respectively. Such chemical shifts are found to be sensitive detectors of hydration/dehydration in highly insoluble hydrates.



Supporting Information

Supporting Information を表示します。

Crystal structures of II and III (CIF) and details of NMR data and chemical shift calculations. This material is available free of charge via the Internet at <http://pubs.acs.org>.

pdf

» ja208647n_si_003.pdf (6.83 MB)

crystallographic information file

» ja208647n_si_001.cif (47.24 kb)

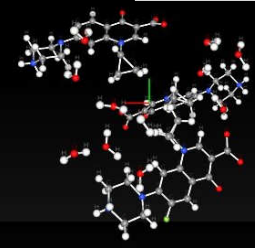
» ja208647n_si_002.cif (48.74 kb)

Mercury で CIF ファイルを表示


Packing Interactions in Hydrated and Anhydrous Forms of the Antibiotic Ciprofloxacin: a Solid-State NMR, X-ray Diffraction, and Computer Simulation Study

Showing 1/3: ja208647n_si_001.cif

Model 1 1/1



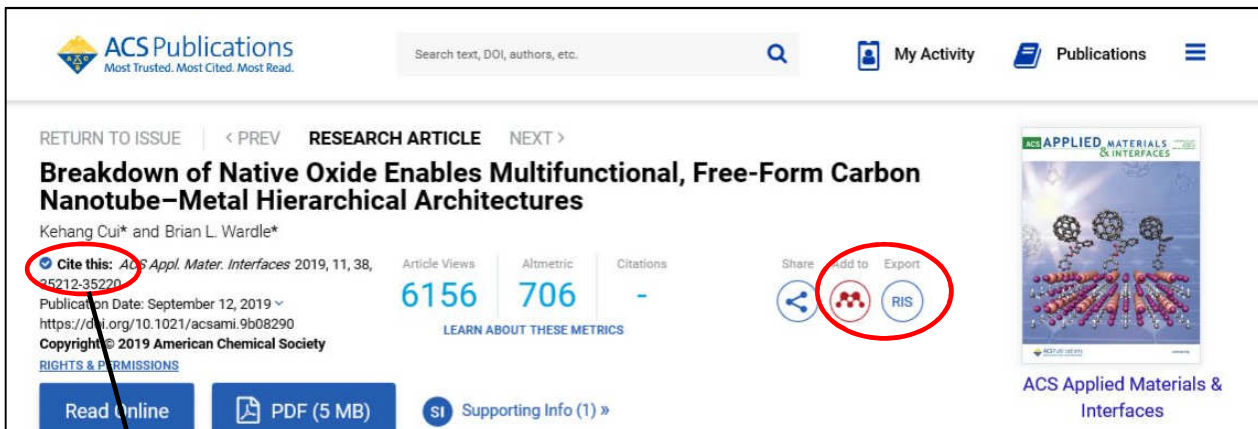
Crystallographic Information File(CIF)ファイルは、ビューアソフト Mercury (無料) をインストールすることで表示できます。ビューアソフト Mercury は、<https://www.ccdc.cam.ac.uk/solutions/csd-system/components/mercury/> からダウンロードできます。


1/3
 Share
 Download

Abstract 表示画面

★文献管理ツールへの取り込み

書誌情報を EndNote や Mendeley などの文献管理ツールに取り込むことができます。Abstract 表示または HTML 全文表示の画面から Cite this のリンクをクリック、または Export の RIS アイコンをクリックします。Add to の Mendeley のアイコンをクリックすると、ダイレクトに取り込めます (ACS ID でのログイン必要)。



Back to Content

Download Citation

Download a citation file in RIS format that can be imported by all major citation management software, including BibTex, EndNote, ProCite, RefWorks, and Reference Manager.

Select Citation Manager/File Format:

- RIS (ProCite, Reference Manager)
- BibTex

Include:

- Citation for the content below
- Citation and references for the content below
- Citation and abstract for the content below

Receive alerts when this article gets cited

ダウンロードするフォーマットと内容を指定します。RIS 形式は EndNote、RefWorks などほとんどの文献管理ツールに対応しています。内容は、書誌情報のみ、書誌+参考文献、書誌+抄録から選択します。Download Citations(s) ボタンをクリックすると、指定した形式でファイルをダウンロードします。ブラウザから「ダウンロード/開く」の選択表示から「開く」を選択すると、ツールによってはダイレクトにエクスポートできます。

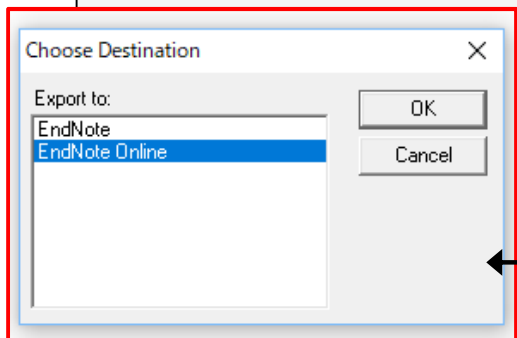
Content

1. Breakdown of Native Oxide Enables Multifunctional, Free-Form Carbon Nanotube-Metal Hierarchical Architectures

Kehang Cui and Brian L. Wardle
 ACS Applied Materials & Interfaces 2019, 11(38), 35212-35220
 DOI: 10.1021/acsami.9b08290



Export の RIS ボタンをクリックすると、RIS 形式で取り込む際の選択画面を表示します。



EndNote の場合、ブラウザのダウンロード選択指定表示から「開く」を選択すると、デスクトップ版 (EndNote)、オンライン版 (EndNote Online) を選択して取り込むことができます。

Add to Mendeley ボタンをクリックすると、Mendeley のライブラリに取り込むことができます。事前に ACS ID と Mendeley のアカウントを取得しておく必要があります。

RETURN TO ISSUE | < PREV COMMUNICATION NEXT >

Catalytic Cyclooligomerization of Enones with Three Methylene Equivalents

Conner M. Farley, You-Yun Zhou, Nishit Banka and Christopher Uyeda*

Cite this: *J. Am. Chem. Soc.* 2018, 140, 40, 12710-12714
 Publication Date: September 14, 2018
 https://doi.org/10.1021/jacs.8b08296
 Copyright © 2018 American Chemical Society

Article Views: 11072 | Altmetric: 30 | Citations: 4

Share Add to Mendeley Export

Journal of the American Chemical Society

Add to Mendeley のアイコンをクリックすると、Pair your accounts の画面が表示されます。ここで ACS ID と Mendeley のアカウントを連携させます。Step 1 で ACS ID でログインします。続いて Mendeley へログインします。

Pair your accounts.

Export articles to Mendeley

Get article recommendations from ACS based on references in your Mendeley library.

STEP 1:

Login with ACS ID

Click to create an ACS ID

→

STEP 2:

Login with Mendeley

Create a Mendeley account

Please note: If you switch to a different device, you may be asked to login again with only your ACS ID.

RETURN TO ISSUE | < PREV COMMUNICATION NEXT >

Catalytic Cyclooligomerization of Enones with Three Methylene Equivalents

Conner M. Farley, You-Yun Zhou, Nishit Banka and Christopher Uyeda*

Cite this: *J. Am. Chem. Soc.* 2018, 140, 40, 12710-12714
 Publication Date: September 14, 2018
 https://doi.org/10.1021/jacs.8b08296
 Copyright © 2018 American Chemical Society

Mendeley のライブラリに取り込まれると View in Mendeley のアイコンに変わります。クリックすると、Mendeley のライブラリを表示します。

Share View In Mendeley Export

Feed Library Suggest Groups Datasets Careers Funding Q Library search Kotaro KN

Check	Star	Share	Title	Author	Date
<input checked="" type="checkbox"/>	<input checked="" type="checkbox"/>	<input checked="" type="checkbox"/>	Catalytic Cyclooligomerization of Enones with Three Methylene Equivalents	Farley C, Zhou Y, Banka N, et al. in Journal of the American Chemical Society (2018)	11:09
<input type="checkbox"/>	<input checked="" type="checkbox"/>	<input checked="" type="checkbox"/>	Catalytic Cyclooligomerization of Enones with Three Methylene Equivalents	Farley C, Zhou Y, Banka N, et al. in Journal of the American Chemical Society (2018)	11:08
<input type="checkbox"/>	<input checked="" type="checkbox"/>	<input checked="" type="checkbox"/>	Model-Assisted Fine-Tuning of Central Carbon Metabolism in Yeast through dCas9-Based R...	Ferreira R, Skrekas C, Hedin A, et al. in ACS Synthetic Biology (2019)	10:58
<input type="checkbox"/>	<input checked="" type="checkbox"/>	<input checked="" type="checkbox"/>	Giant Negative Area Compressibility Tunable in a Soft Porous Framework Material	Cai W, Gladysiak A, Aniolu M, et al. in Journal of the American Chemical Society (2015)	29 Oct
<input type="checkbox"/>	<input checked="" type="checkbox"/>	<input checked="" type="checkbox"/>	Luminescent Ce(III) Complexes as Stoichiometric and Catalytic Photoreductants for Halogen...	Yin H, J. Carroll P, M. Anna J, et al. in Journal of the American Chemical Society (2015)	29 Oct
<input type="checkbox"/>	<input checked="" type="checkbox"/>	<input checked="" type="checkbox"/>	Copper Oxide/Silica Nanocomposites for Selective and Stable H2S Gas Detection	Paul A, Weinberger C, Tiemann M, et al. in ACS Applied Nano Materials (2019)	26 Jul
<input type="checkbox"/>	<input checked="" type="checkbox"/>	<input checked="" type="checkbox"/>	Detection of Association and Fusion of Giant Vesicles Using a Fluorescence-Activated Cell S...	Sunami T, Caschera F, Morita Y, et al. in Langmuir (2010)	10 Jul
<input type="checkbox"/>	<input checked="" type="checkbox"/>	<input checked="" type="checkbox"/>	Genome of the pitcher plant <i>Cephalotus</i> reveals genetic changes associated with carnivory	Fukushima K, Fang	07/03/17
<input type="checkbox"/>	<input checked="" type="checkbox"/>	<input checked="" type="checkbox"/>	Journals invite to...	Leback J, Hanson B	02/03/17

Mendeley のライブラリ画面

Journal Article

Catalytic Cyclooligomerization of Enones with Three Methylene Equivalents

Farley C, Zhou Y, Banka N, Uyeda C

Journal of the American Chemical Society
 2018 vol. 140 (40) pp. 12716-12714

Cyclic structures are highly represented in organic molecules, motivating a wealth of catalytic methods targeting their synthesis. Among the various ring-forming processes, cyclooligomerization reactions possess several attractive features but require addressing a unique challenge associated with controlling ring-

DOI: 10.1021/jacs.8b08296

FILES
 jacs8b08296.pdf
 1.39 MB

★レコメンド記事の表示

HTML 全文表示の際、画面をスクロールすると、レコメンドする記事をいくつか表示します。

それぞれの記事をクリックすると、記事の Abstract を表示します。

Abstract
Localization cluster in DNA-PAINT image

★著者情報の表示と ORCID ID との連携

Abstract および HTML 全文表示にて著者情報を表示することができます。ORCID ID がある場合は、ORCID へのリンクも表示します。

著者名にマウスカーソルを置くと、ポップアップで著者情報を表示します。ORCID ID があればリンクが表示され、ORCID の登録情報が参照できます。

Thomas R. Ward
Department of Chemistry, University of Basel, Building 1096, Mattenstrasse 24a, Biopark Rosental, 4058 Basel, Switzerland
*Thomas.Ward@unibas.ch
More by Thomas R. Ward
<http://orcid.org/0000-0001-8602-5468>

ORCID
Connecting Research and Researchers

FOR RESEARCHERS FOR ORGANIZATIONS ABOUT HELP

Thomas R. Ward
ORCID ID
<https://orcid.org/0000-0001-8602-5468>

Websites
Ward Group Homepage
Molecular Systems Engineering Homepage

Employment (3)
University of Basel: Basel, CH
2008-04-01 to present | Full Professor (Chemistry)
Employment
Source: Thomas R. Ward * Preferred source
University of Neuchatel: Neuchatel, CH
2000-09-01 to 2008-03-31 | Full Professor (Chemistry)
Employment
Source: Thomas R. Ward * Preferred source
University of Berne: Bern, CH
1993-09-01 to 2000-08-31 | Assistant Professor, non-tenured (Oberassistent) (Chemistry)
Employment
Source: Thomas R. Ward * Preferred source
Education and qualifications (4)
University of Lausanne: Lausanne, CH
1992-10-01 to 1993-08-31 | Postdoctoral Fellow (Chemistry)
Education
Source: Thomas R. Ward * Preferred source



★記事の利用状況の表示

掲載された記事がどのくらい読まれたか、引用されたか、SNSなどのメディアにシェアされたかといった利用状況を参照することができます。

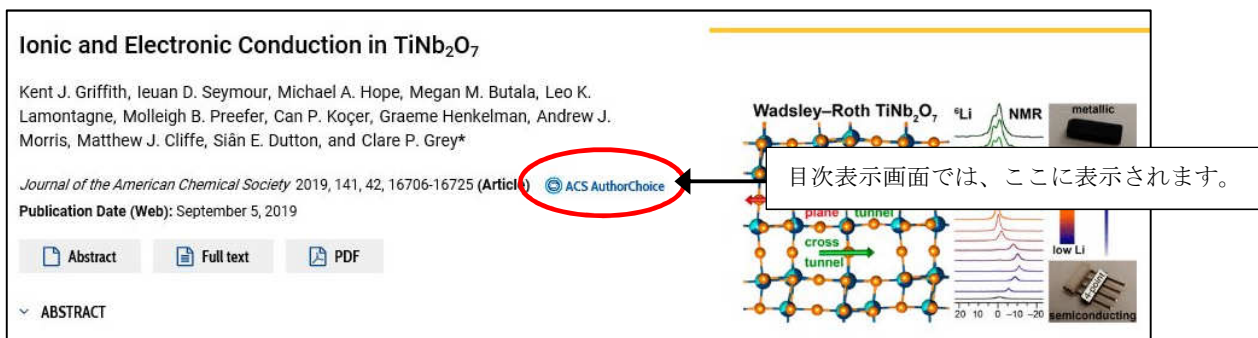
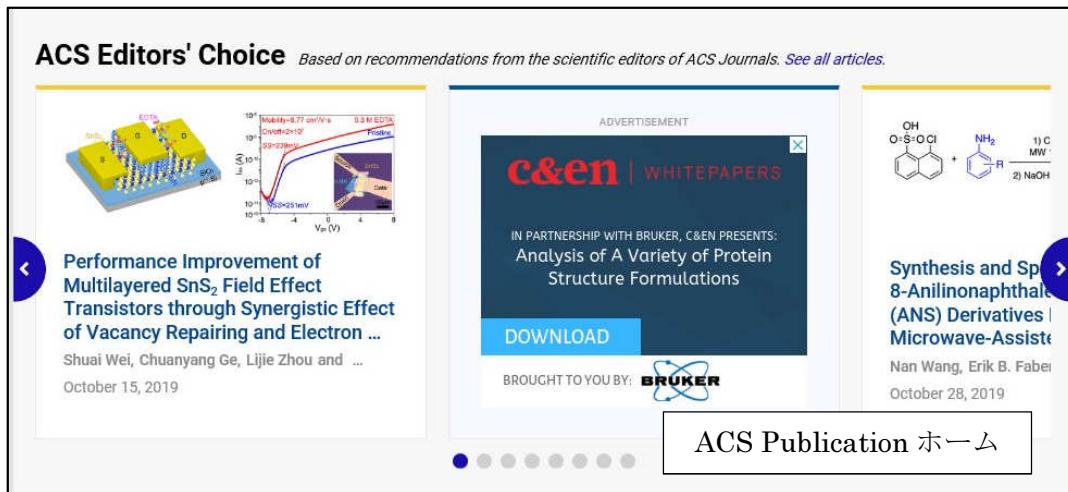
Altmetric の数値をクリックすると、Altmetric での詳細な情報を入手することができます。

★オープンアクセス記事 (ACS Editor's Choice、ACS Author's Choice)

購読がなくても全文まで無料公開されている記事があります。それらには、ACS Editor's Choice もしくは ACS Author's Choice と呼ばれ、記事にそれぞれのアイコンが表示されます。

-  ACS Editor's Choice・・・各ジャーナルの Editor によって読むべきと推薦された記事。
-  ACS Author's Choice・・・著者が出版費用を負担して無料公開する記事。

ACS Editor's Choice については、ACS Publication ホームページ、各ジャーナルのホームで紹介されます。



Editor's Choice だけを閲覧するには、<https://pubs.acs.org/editorschoice/> にアクセスします。



3. 記事の検索

記事の検索は、ACS Publications ホームページに表示される Quick Search ウィンドウから検索できます。

Search publications / articles / authors / dois / keywords / etc

OR SEARCH CITATIONS

Journals Volume Page

ジャーナル名、記事、著者、DOI、キーワードなど検索対象に検索します。
ジャーナル名、巻号ページを指定して検索することもできます。

特定のジャーナルページでは、そのジャーナル内に限定するか全出版物を対象とするかを選択できます。

Search text, DOI, authors, etc.

J. Am. Chem. Soc. All Publications/Website

OR SEARCH CITATIONS

Journal of the Am... Vol Page

JACS
JOURNAL OF THE AMERICAN CHEMICAL SOCIETY

Editor: Peter Stang
Editors & Editorial Board

Impact Factor 2018: 14.695 | Citations 2018: 550,343

Submit Manuscript

Subscriber Info

Get e-Alerts

Volume 141, Issue 43
October 30, 2019

★キーワード検索上の注意点

- ・大文字・小文字は区別しません。単語ベースでの検索になります。
- ・検索は文字列検索のみ（用語を統制する辞書は持っていない）。
→CO₂と Carbon Dioxide は別に検索するので注意。
- ・記号・数式は検索しません。
- ・化合物名も統制されていません（CAS の Registry No.などでは検索できません）。
慣用名、IUPAC 命名法、化学式での表記など記載にバリエーションがあります。
- ・ブール演算（AND、OR、NOT）での論理演算が可能。
ただし、入力ボックス内での OR、NOT 演算はできません。
- ・化学式（組成式）の扱い（上付き、下付き文字）
例：Na₂SO₄ → “Na2SO4”（そのまま入力、ダブルクォーテーションで囲む）
例：Fe³⁺ → Fe3 Fe3 を含む化合物を検索（+記号は検索しません）。
- ・ギリシア文字（α、β、γなど）は Unicode 文字で検索できます。
同時に英語表記（alpha、beta など）も検索します。
- ・フレーズで検索する場合は、両端をダブルクォーテーション “ ” で囲む。
例：“chiral catalyst”（“ ” で囲まないと AND 演算になる）

検索を実行すると、検索結果一覧を表示します。検索語はハイライトされます。

The screenshot shows the ACS Publications search results page for the query "graphene AND solar cells". The page is annotated with several callouts:

- Top Callout:** "検索を保存します。" (Save search) with an arrow pointing to the "Follow results" button.
- Left Callout:** "REFINE SEARCH" button is circled in red.
- Right Callout:** "SORT: RELEVANCE" dropdown menu is circled in red.
- Center Callout:** "検索結果の並べ替えができます。Relevance (関連性) 順、日付順で並べ替えます。" (You can sort search results. Sort by Relevance (relevance) or date).
- Article Callout:** "検索をさらにキーワードなどを追加して絞り込む場合、ここをクリックします" (When you want to narrow down the search by adding keywords, click here) pointing to the article title.
- Bottom Callout:** "Narrow Results は、検索結果について、ASAP と受理事、ジャーナル別、コンテンツタイプ別、著者別、記事種別などヒット件数を表示します。該当のリンクをクリックすると、その検索結果を選択した項目で絞り込みして一覧表示します。" (Narrow Results shows the number of hits for ASAP and accepted articles, journal, content type, author, and article type. Clicking the corresponding link will narrow down the search results to the selected item and display them in a list).

The search results list includes:

- Graphene Cathode-Based ZnO Nanowire Hybrid Solar Cells** (Nano Letters, 2013, 13, 1, 233-239 (Letter))
- Colloidal Antireflection Coating Improves Graphene-Silicon Solar Cells** (Nano Letters, 2012, 13, 1, 233-239 (Letter))
- Multi-method characterization of responsive microgels** (Sponsored content by Wyatt Technology Corp.)
- High-Performance Single CdS Nanowire (Nanobelt) Schottky Junction Solar Cells with Au/Graphene Schottky Electrodes** (ACS Applied Materials & Interfaces, 2010, 2, 12, 3406-3410 (Letter))

The ACS Applied Materials & Interfaces article includes a figure showing a schematic of the solar cell structure and a graph of current density (J_{sc}) vs. voltage (V_{oc}) with parameters: J_{sc}=275.0 pA, V_{oc}=0.15 V, FF=40.0%, η=1.65%.

検索結果一覧表示画面

検索結果をさらに絞り込むには、REFINE SEARCH をクリックします。

NARROW RESULTS

CONTENT GROUP TYPE

- Articles ASAP (As Soon As Publishable) 28
- Just Accepted Manuscripts 28

CONTENT TYPE

- Book Chapter 15
- C&EN Article 47
- Journal Article 3405

ARTICLE TYPE

- Research Article 2412
- Rapid Communication 494
- Review Article 458
- Editorial 53
- News 42

PUBLICATION DATE

- Last Year 584
- Last 6 Months 317
- Last 3 Months 192
- Last Month 88
- Last Week 40

AUTHOR

- Kamat, Prashant V 45
- Prezhdo, Oleg V 25
- Müllen, Klaus 21
- Long, Run 16
- Schatz, George C 16

PUBLICATION

- ACS Applied Materials & Interfaces 817
- The Journal of Physical Chemistry C 561
- ACS Nano 392
- Nano Letters 250
- Chemical Reviews 190

RESULTS: 1 - 20 of 3519 Follow results:

REFINE SEARCH PER PAGE: 20 50 100 ↑ SORT: RELEVANCE ↓

Advanced Options Search History Saved Searches

Anywhere

graphene AND "solar cells"

Anywhere

Enter Search term

Published in

e.g. Journal of The Am

Access Type

- All Content
- Open Access Content
 - ACS Author Choice
 - ACS Editors' Choice

C&EN Archives Options

- Include Tables of Contents in search results
- Include full-page advertisements in search results

Publication Date

- All dates
- Last
 - Select
- Custom range
 - Month Year
 - Month Year

Filter by issue type

- Articles ASAP (As Soon As Publishable)
- Just Accepted Manuscripts

Search

Search History は検索履歴を表示、Saved Searches は保存された検索を呼び出します。

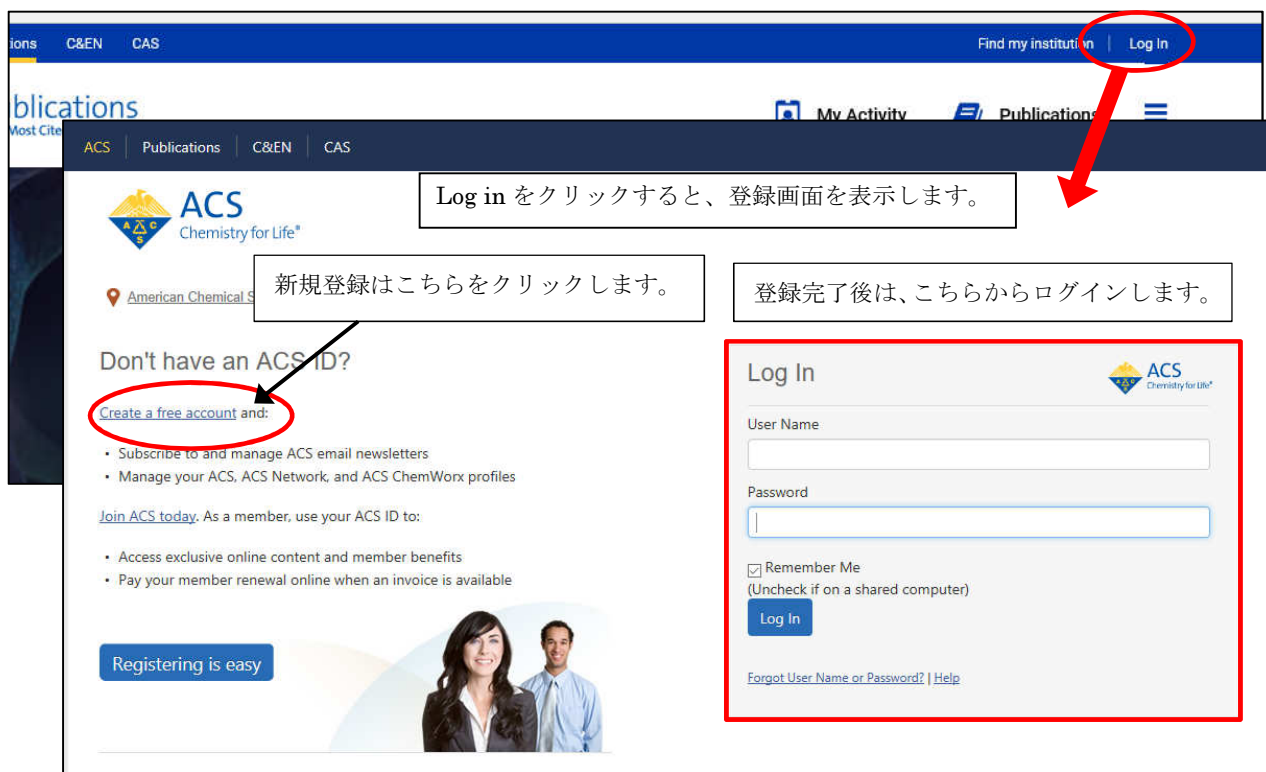
検索式が入力されているので、項目を Anywhere から Title、Author、Abstract、Figure/Table caption に変更して再検索できます。+ボタンをクリックすると入力ボックスを増やせます。

検索結果をアクセスタイプ、年度範囲、ASAP、Just Accepted を指定して絞り込みます。

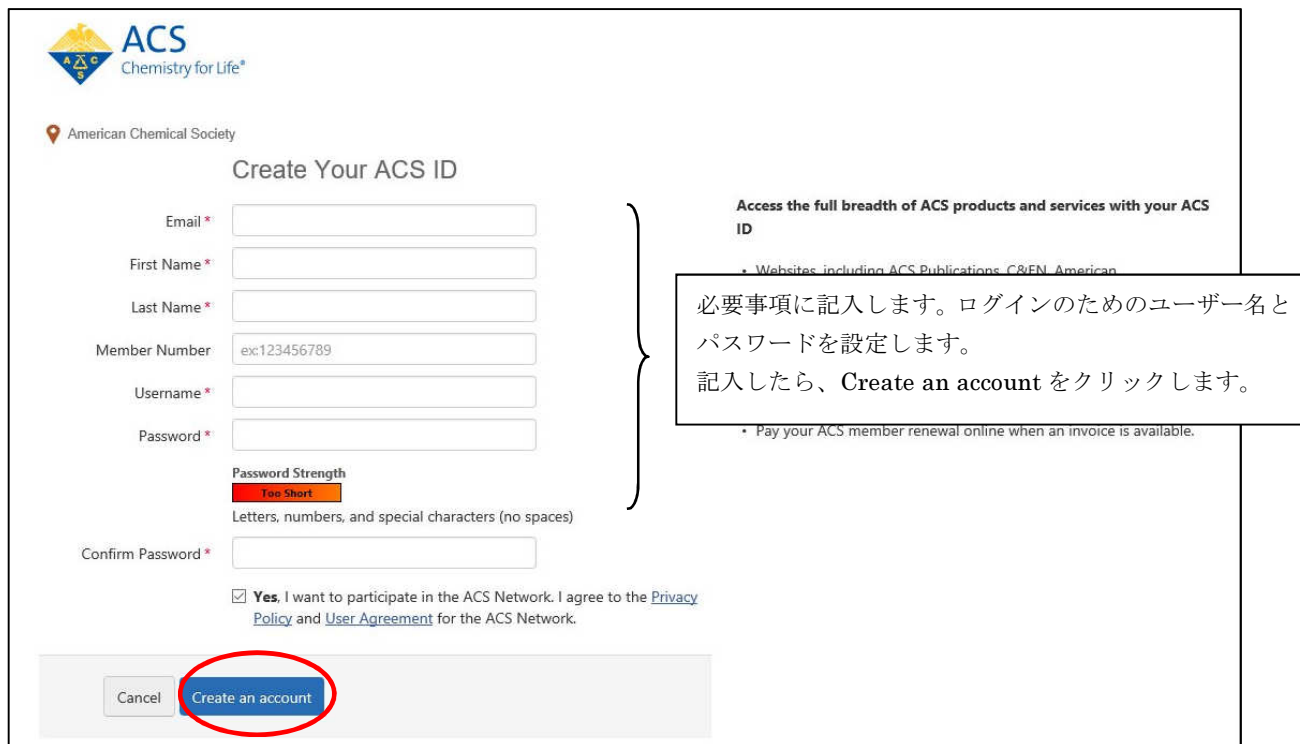
4. ユーザー登録 (ACS ID の取得)

ユーザー登録を行うと ACS ID が取得できます。Username と Password でログインすると、E-mail アラートのサービスなどを利用することが出来ます。ユーザー登録は以下の手順で行います。

ACS Publications トップページ (<http://pubs.acs.org/>) から **Log in** のリンクをクリックします。



Create a free account のリンクをクリックします。登録画面を表示します。



登録完了するとメールが送信されます。Username と Password でログインすると、Your Profile でアラートの設定や検索の保存、記事の保存などのサービスが利用できるようになります。ログインして、Welcome:xxxx の名前をクリックすると、Your Profile の画面を表示します。



Welcome to Your Profile







Discover the options and benefits available to you in your profile.

MY ACCOUNT

- [Home](#) >
- [Member Benefits](#) >
- [E-Mail Alerts](#) >
- [Saved Searches](#) >
- [Activate a Token](#) >
- [Edit Profile](#) >
- [Mendeley](#) >

Welcome

The options in the left-hand navigation allow you to manage your profile in the following ways:

-  [Member Benefits](#)
- View your current publications
-  [E-Mail Alerts](#)
- Sign up for and manage your publications
-  [Saved Searches](#)
- Access and manage the tokens you have
-  [Activate a Token](#)
- Activate access tokens for sponsored access to content.
-  [Edit Profile](#)
- Edit your personal profile information, including your e-mail and password.
-  [Mendeley](#)
- Manage your personal Mendeley account.

Membership Benefits・・・ACS 会員に関する情報
 E-Mail Alerts・・・目次等の E-mail アラートの設定
 Saved Searches・・・保存された検索の表示・実行
 Activate a Token・・・トークンの利用
 Edit Profile・・・Profile の編集
 Mendeley・・・Mendeley のアカウントと連携

Your Profile 画面

★E-mail アラートの設定

Your Profile の左側の E-Mail Alerts のメニューをクリックすると、設定画面になります。Add Journal ボタンをクリックすると、ジャーナルのリストが表示されますので、希望のジャーナルを選択します。

目次アラート登録画面

ジャーナルホームの Get e-Alerts をクリックしても設定できます。

★Saved Searches

検索を保存して、呼び出し実行とアラートの設定ができます。保存するには、検索結果画面の Follow results のアイコンをクリックします。ポップアップで保存の設定画面を表示します。ACS ID でログインしておきます。

保存されると、「Search has been saved(Edit)」というメッセージを表示します。



保存した検索を削除・再設定するには、Your Profile 画面の Saved Searches から行います。

Welcome to Your Profile
Discover the options and benefits available to you in your profile.

MY ACCOUNT

- Home >
- Member Benefits >
- E-Mail Alerts >
- Saved Searches** >
- Activate a Token >
- Edit Profile >
- Mendeley >

Saved Searches

Saved Search Name	Frequency	Saved on	Last run on	User actions	User actions
光化学複合体	M	Nov 5, 2019	Nov 5, 2019	RUN	DELETE
giant vesicles	N	Jul 16, 2019	Nov 5, 2019	RUN	DELETE
graphene Solar cells	M	Nov 5, 2019	Nov 5, 2019	RUN	DELETE

RUN をクリックすると検索を実行します。DELETE で登録を削除できます。

★Mendeley との連携

文献管理ツール Mendeley のアカウントと ACS ID を連携させることができます。ACS の記事をダイレクトに Mendeley のライブラリに取り込むことができます。ACS ID にログインした後、My Account の Mendeley をクリックすると、Pair your accounts の画面が表示されます。STEP 2 の Mendeley へのログインを実行すると連携が完了します。

Pair your accounts.
Export articles to Mendeley
Get article recommendations from ACS based on references in your Mendeley library.

STEP 1: Login with ACS ID
Click to create an ACS ID

STEP 2: Login with Mendeley
Create a Mendeley account

MY ACCOUNT

- Home >
- Member Benefits >
- E-Mail Alerts >
- Saved Searches >
- Activate a Token >
- Edit Profile >
- Mendeley** >

Mendeley

Account pairing allows ACS to export articles to your Mendeley library and use your Mendeley library for recommendations within ACS Publications.

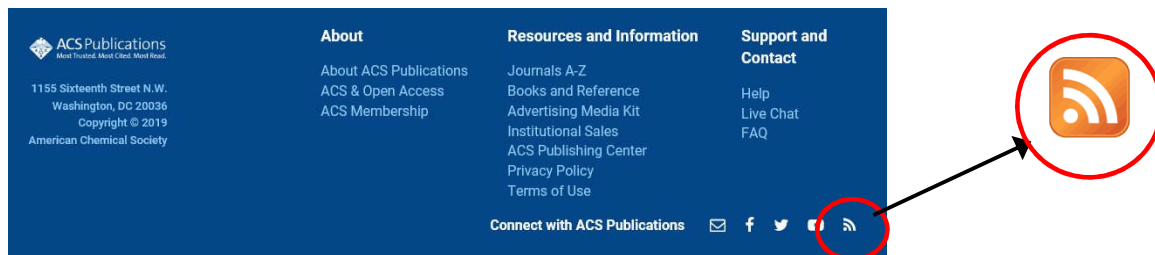
Your ACS ID is currently paired with a Mendeley account

Remove Pairing

連携を解除するには Your Profile の Mendeley のメニューをクリックして Remove Pairing をクリックします

5. RSS フィード

RSS フィードに対応したリーダーソフトまたは Web ブラウザに登録することで、各ジャーナルの ASAP 記事を含む最新記事情報を自動的に入手出来ます。リーダーソフトは無料でダウンロードできるものもあります。RSS の一覧は、各ページに下部に表示されているアイコンをクリックします。



Follow ACS

RSS Feeds Mobile & Apps

Journal Article RSS Feeds

Add article headlines and links back to full text articles to your personal RSS reader.

<ul style="list-style-type: none"> Accounts of Chemical Research ACS Applied Energy Materials ACS Applied Materials & Interfaces ACS Applied Nano Materials ACS Applied Polymer Materials ACS Biomaterials Science & Engineering ACS Catalysis ACS Central Science ACS Chemical Biology ACS Chemical Neuroscience ACS Combinatorial Science ACS Earth and Space Chemistry ACS Editors' Choice 	<ul style="list-style-type: none"> Chemistry of Materials Crystal Growth & Design Energy & Fuels Environmental Science & Technology Environmental Science & Technology Letters ES&T Online News Industrial & Engineering Chemistry Research Inorganic Chemistry Journal of the American Chemical Society Journal of Agricultural and Food Chemistry Journal of Chemical & Engineering Data Journal of Chemical Education Journal of Chemical Information and Modeling
--	--

各タイトルのリンクをクリックすると、フィードの設定ができます。

6. ソーシャルネットワークサービス (SNS)

特定のタイトルについては、Facebook や Twitter のサイトがあります。アカウントがあれば、それぞれジャーナルタイトルに関連するニュースや注目記事などの発信をフォローできます。

The image shows two overlapping screenshots. On the left is the JACS website, and on the right is the Twitter profile of the J. Am. Chem. Soc. (@J_A_C_S). The Twitter profile includes the bio, location (Washington, DC), website, and follower/following counts. A red circle highlights the social media icons in the JACS website footer, with an arrow pointing to the Twitter icon. A text box at the bottom right contains the text: "例：Journal of the American Chemical Society のツイッターアカウントを表示".